

4905

МИНИСТЕРСТВО ОБРАЗОВАНИЯ И НАУКИ РОССИЙСКОЙ ФЕДЕРАЦИИ  
ФЕДЕРАЛЬНОЕ АГЕНТСТВО ТЕХНИЧЕСКОГО РЕГУЛИРОВАНИЯ И МЕТРОЛОГИИ  
ФЕДЕРАЛЬНОЕ НАУЧНО-ТЕХНИЧЕСКОЕ ЦЕНТРАЛЬНОЕ НАУЧНО-ИССЛЕДОВАТЕЛСКОЕ УЧРЕЖДЕНИЕ  
ФИЗИКО-МАТЕМАТИЧЕСКИЙ ИНСТИТУТ  
РАДИОТЕХНИЧЕСКИЙ УНИВЕРСИТЕТ

## СИСТЕМА УПРАВЛЕНИЯ В РАДИОЗОНЕ

Методические указания к лабораторной работе № 5

Passare, 2015



$$- f_{n1} \pm (2n-1)F_{\text{мн}};$$

$$- f_{n2} \pm [F_{n1} \pm (2n-1)F_{\text{мн}}];$$

$$- f_{n2} \pm [F_{n2} \pm (2n-1)F_{\text{мн}}].$$

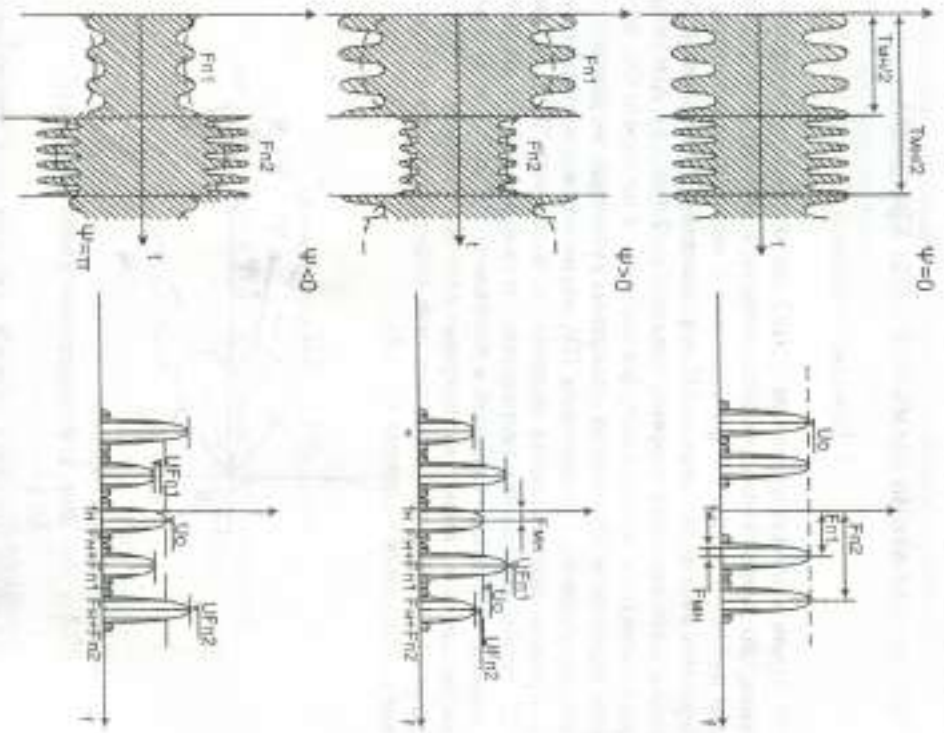


Рис. 2. Временная и спектральная структуры сигналов, принимаемых ДА при различных  $\psi$

При нахождении ДА в разном состоянии принимаемый сигнал модулирован только поднесущими частотами. В спектре отсутствуют боковые составляющие первой группы частот, а мощности гармоник во второй

и третьей группам частот одинаковы. При отклонении ДА от разном состоянии принимаемый сигнал оказывается дополнительно модулированным по амплитуде прямоугульными колебаниями частоты манипуляции диаграммы направленности антенны. При этом в спектре сигнала появляются боковые частоты в окрестностях частот несущего колебания и изменяется относительный уровень спектральных составляющих, обуславливаемых частотами поднесущих.

Итак, информация о местоположении ДА в принимаемом на его борту сигнале заключается:

1) в глубине амплитудной модуляции несущего колебания сигналом частоты манипуляции  $F_{\text{мн}}$  и в фазе этого сигнала, при этом значение коэффициента амплитудной модуляции  $m_A$  характеризует величину углового отклонения ДА от разном, а знак  $\pm$  коэффициента  $m_A$  указывает направление отклонения;

2) в соотношении мощностей во второй и третьей спектральным группам сигнала; при этом значение коэффициента мощности группам сигнала характеризует величину углового отклонения ДА от разном, а знак  $\pm$  коэффициента  $m_p$  указывает направление отклонения.

Информационные параметры сигнала  $m_A$  и  $m_p$  связаны с угловым отклонением  $\psi$  ДА от разном следующим зависимостями:

$$m_A = K_{\text{рз}} \psi, \quad (1)$$

$$m_p = 1 + 4 \cdot K_{\text{рз}} \psi, \quad (2)$$

где  $K_{\text{рз}}$  - коэффициент чувствительности равносигнальной зоны.

Структурная схема аппарата пункта управления, предназначенная для формирования в пространстве разном, приведена на рис. 3.

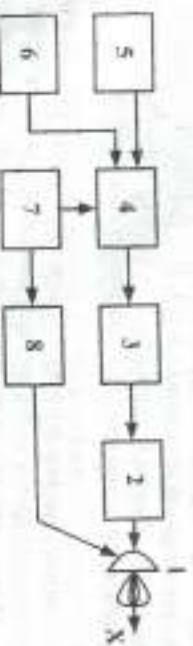


Рис. 3. Структурная схема аппарата пункта управления:

1 - антенна; 2 - генератор ВЧ несущего колебания; 3 - амплитудный модулятор; 4 - переключатель поднесущих частот; 5, 6 - генераторы поднесущих частот; 7 - генератор манипуляционной частоты; 8 - переключатель полевой диаграммы направленности

Равноосиная зона создается за счет переклещивания диаграммы направленности передаточной антенны. Частота переключения (маневренность)  $F_{\text{мн}} = 1/T_{\text{мн}}$  задается генератором квадрупольной частоты 7. Диаграмма направленности находится в положениях 1 и 2 одной координаты, равное  $T_{\text{мн}}$ . Модуляция несущего колебания осуществляется с помощью генераторов поднесущих частот 5 и 6, которые подключаются к модулятору 3 передатчика через переключатель 4.

Бортовая аппаратура ДА может выполняться в двух вариантах в зависимости от используемого для формирования команды инфракрасного параметра -  $m_a$  или  $m_p$ .

Рассмотрим вначале вариант бортовой аппаратуры ДА на основе инфракрасного параметра  $m_a$  - коэффициент амплитудной модуляции несущего колебания частотой минимума диаграммы направленности антенны (рис. 4).

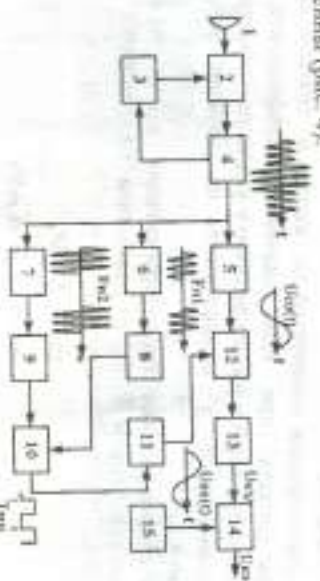


Рис. 4. Структурная схема аппаратуры ДА при формировании командного сигнала на основе инфракрасного параметра  $m_a$ : 1 - антенна; 2 - тракт ВЧ; 3 - система АРУ; 4 - детектор несущего колебания; 5 - фильтр сигнала ошибки; 6, 7 - фильтры поднесущих частот; 8, 9 - детекторы поднесущих частот; 10 - триггер; 11 - фильтр опорного сигнала; 12 - фазовый детектор; 13 - фильтр командного сигнала; 14 - потенциометр дальности; 15 - программный механизм

Сигнал, принятый приемной антенной, после усиления и преобразования в ВЧ тракте детектируется амплитудным детектором.

Низкочастотная часть приемника разделена на два канала: канал сигнала ошибки и канал опорного сигнала. Сигнал с выхода амплитудного детектора 4 параллельно подается на фильтр сигнала ошибки 5, настроенный на частоту модуляции  $F_{\text{мд}}$ , и на фильтр поднесущих частот 6 и 7. С выхода фильтра сигнала ошибки 5 снимается коэффициентное колебание, амплитуда которого пропорциональна коэф-

фициенту модуляции  $m_a$ , т.е. условному отклонению  $\varphi$  ДА от радиозона, а фаза зависит от направления отклонения.

Полосные фильтры поднесущих частот 6 и 7, детекторы поднесущих частот 8 и 9, триггер 10 и фильтр опорного сигнала 11 образуют опорный канал.

Опорный сигнал и сигнал ошибки поступают на фазовый детектор 12, который осуществляет их перемножение. После фильтра командного сигнала 13 выделяется командное напряжение  $U_{\text{ком}}$ , величина и знак которого определяется величиной и направлением отклонения ДА от радиозона.

Потенциометр дальности, формирующий командный сигнал  $U_{\text{ком}}$ , пропорциональный линейному отклонению ДА от радиозона, управляется программным механизмом.

Командный сигнал  $U_{\text{ком}}$ , формируемый на борту ДА, связан с угловым отклонением ДА от радиозона зависимостью:

$$U_{\text{ком}} = K_{\text{г}} K_{\text{д}} K_{\text{ф}} K_{\text{с}} U_{\text{вч}} \sqrt{\frac{R_{\text{ан}} P_{\text{ан}} D_{\text{ан}} S_{\text{ан}}}{2\pi r_{\text{макс}}^2}} \varphi, \quad (3)$$

где  $K_{\text{д}}$  - коэффициент передачи фазового детектора,  $K_{\text{с}}$  - коэффициент усиления канала сигнала ошибки,  $U_{\text{вч}}$  - уровень опорного напряжения,  $R_{\text{ан}}$  - входное сопротивление приемной антенны,  $P_{\text{ан}}$  - мощность передатчика ПУ,  $D_{\text{ан}}$  - коэффициент направленного действия передаточной антенны ПУ,  $S_{\text{ан}}$  - эффективная площадь приемной антенны ДА,  $r_{\text{макс}}$  - максимальное удаление ДА от ПУ, на которое рассчитано управление.

Теперь рассмотрим вариант построения бортовой аппаратуры ДА на основе инфракрасного параметра  $m_p$  - отклонение мощностей по второй и третьей спектральным группам сигнала (рис. 5). В этом варианте после амплитудного детектора несущего колебания 4 сигнал разделяется на два канала. В первом канале (фильтр поднесущего колебания  $F_{\text{пн}}$ , выпрямитель 7, пиковый детектор 9) формируется напряжение, пропорциональное мощности сигнала, связанного с первой поднесущей частотой  $F_{\text{п1}}$ , а во втором канале (фильтр поднесущего колебания  $F_{\text{п2}}$ , выпрямитель 8, пиковый детектор 10) - напряжение, пропорциональное мощности сигнала, связанного со второй поднесущей частотой  $F_{\text{п2}}$ . Формирование в указанных каналах напряжения равно, когда ДА находится в равноосиальной зоне. Если сигнал находится вне равноосиальной зоны, напряжения в первом и втором каналах различны. Из разности этих напряжений формируется командный сигнал, пропорциональный отклонению сигнала от радиозона.

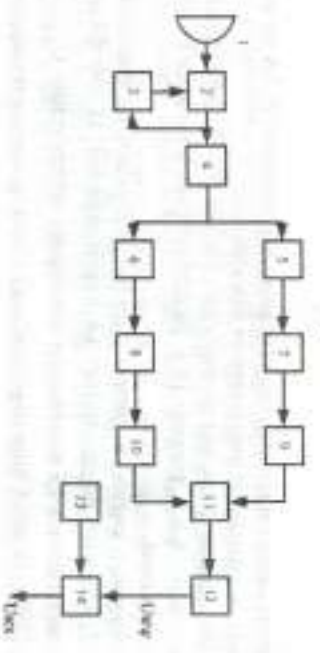


Рис. 5. Структурная схема аппаратуры ДА при формировании командного сигнала на основе информационного параметра  $m_d$ : 1 - антенна; 2 - тракт ВЧ; 3 - система АРУ; 4 - детектор несущего колебания; 5, 6 - фазовый подмесущих частот; 7, 8 - выпрямитель; 9, 10 - пиковые детекторы; 11 - равноставный каскад; 12 - фильтр нижних частот; 13 - потенциометр дальности; 14 - программный механизм

2. Контур управления

На основании принципа работы системы и ее функционального построения можно построить структурную схему замкнутого контура (рис. 6). Направление колеблется ДА определено равносигнальной зоной, и управление подчинено условию  $\psi_1 = 0$ . Фактическое направление движения ДА характеризуется углом отхода  $\psi$ , взаимным смещением ошибки управления. Условная ошибка управления подается на радиочастоту  $F_3$ , связывающее угловое отклонение ДА от радиозоны  $\psi$  с командным напряжением  $U_{\psi}$ . Эта связь осуществляется так.

Первый элемент радиозоны преобразует угловое отклонение  $\psi$  ДА от радиозоны в коэффициент амплитудной модуляции  $m_d$  несущей частоты частотой манипуляции  $F_{ам}$ . Коэффициент передачи первого элемента равен угловой чувствительности равносигнальной зоны

$$K_1 = K_{\psi} = m_d / \psi \quad (4)$$

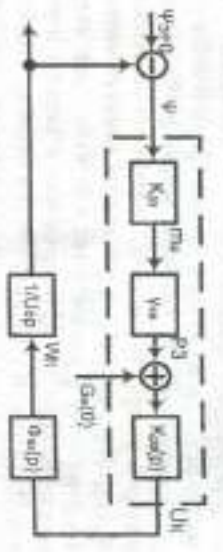


Рис. 6. Контур управления

Второй элемент радиозоны является преобразователь коэффициента амплитудной модуляции  $m_d$  в командное напряжение. Коэффициент передачи преобразователя

$$\gamma_{ам} = U_{\psi} / M_d = K_{\psi} K_{\psi} U_{ам} \sqrt{R_{ам} P_{ам} D_{ам} S_{ам} / 2\pi \max^2 \psi} \quad (5)$$

Третий элемент радиозоны - фильтр командного сигнала с передаточной функцией  $K_{\psi}(p)$ , при этом  $K_{\psi}(0) = 1$ .

Выборочное командное напряжение подается на звено автопилота - корпус передаточная функция которого  $W_{\psi}$ . Новое угловое положение ДА связывается с поперечным ускорением динамическим звеном. Передаточная функция динамического звена (ДЗ)

$$\Phi_{\psi}(p) = 1 / U_{\psi} p^2 \quad (6)$$

Выходная коэффициента контура - угол  $\psi$ .

Передаточная функция контура управления

$$\Phi_{\psi}(p) = K_{\psi} \gamma_{ам} K_{\psi}(p) U_{ам} p / (1 + K_{\psi} \gamma_{ам} K_{\psi}(p) U_{ам} p) \quad (7)$$

Эффективная полоса пропускания контура управления

$$\Delta F_{\psi} = \frac{1}{2\pi} \int_{-\infty}^{\infty} |\Phi_{\psi}(j\omega)|^2 d\omega \quad (8)$$

3. Ошибка управления

Для системы управления в радиозоне рассматриваются две группы ошибок - аппаратные и шумовые. Для системы управления, построенной на основе информационного параметра  $m_d$ , все группы ошибок связаны с маневром работы фазового детектора.

Если уровень шумов невелик, то влияние шума будет связываться в основном на канале сигнала ошибки, приводя к появлению в контуре управления (рис. 6) помехи на выходе бесинерционной части контура со спектральной плотностью

$$G_{\psi}(0) = 4G_{ам} (K_{\psi} K_{\psi})^2 \quad (9)$$

где  $G_{ам}$  - спектральная плотность шумов на входе приемника.

Средняя квадратическая ошибка управления, обусловленная шумами,

$$\sigma_{\psi/ам} = \sqrt{G_{ам} \Delta F_{\psi} / K_{\psi}^2 \gamma_{ам}^2} \quad (10)$$

Заметив, что  $K_{\psi} = m_d / \psi = 1 / \psi_{ам}$  и используя зависимость (5) и (9), преобразуем (10) к виду

$$\bar{b}_{\text{члн}} = 2\epsilon_{\text{max}} \sqrt{\frac{\epsilon_{\text{max}}}{\epsilon_{\text{min}}}} \sqrt{\frac{2\pi G_{\text{max}} \Delta F_{\text{с}}}{P_{\text{ср}} D_{\text{ср}} S_{\text{ср}} R_{\text{ср}}}} \quad (11)$$

### ЛАБОРАТОРНАЯ УСТАНОВКА

В системе MICRO - CAP 5 создан файл RADZON5.CIR, описывающий структуру схемы микшера, приведенная на рис. 7. На схеме приняты следующие обозначения: COMMAND - датчик напряжения  $U_{\text{ср}}$ , пропорционального углу поворота отклонения ДА от радиозонды, NF - генераторы несущих частот, ПЧ - потенциометр отклонения (устройство, выполняющее угловое отклонение ДА от радиозонды), К - коммутатор, и - генератор белого шума, ПД - потенциометр дальности (устройство, выполняющее удаление ДА от ПУ),  $\oplus$  - сумматоры, ФПЧ, ФПД - фильтры несущих частот, Д - детекторы несущих частот, Т - триггер, ФСО - фильтр сигнала ошибки, УСО - усилитель сигнала ошибки, ФД - фазовый детектор, ФКС - фильтр командного сигнала.

### ПОРЯДОК ВЫПОЛНЕНИЯ РАБОТЫ

1. Запустить систему MICRO - CAP 5 и вызвать файл RADZON5.CIR.
2. Провести временной анализ устройства.

войти в меню ANALYSIS и выбрать функцию TRANSIENT ANALYSIS;

- в колонке P набрать номера графиков;
- в колонке Expression набрать имена контрольных точек схемы, сигналам которых требуется посмотреть [например, V(1)]; в переключателе исследуемых точек 2, 5, 6, 8, 9, 10; в применителе - 13, 14, 15, 16, 17, 18, 19, 20, 21;
- в колонке Expression установить t (т.е. исследование временных зависимостей);
- в колонке XRange установить требуемое время анализа (например, 0.0005, 0);
- в колонке YRange установить предполагаемый диапазон значений напряжений в исследуемой точке (если диапазон неизвестен, то поставить значения -10,10, а также метку против строки Auto Scale Ranges);
- нажать кнопку RUN и меню анализа;
- для изменения условий анализа войти в меню TRANSIENT, посмотреть режим Limits и изменить значения временных параметров или имена контрольных точек.

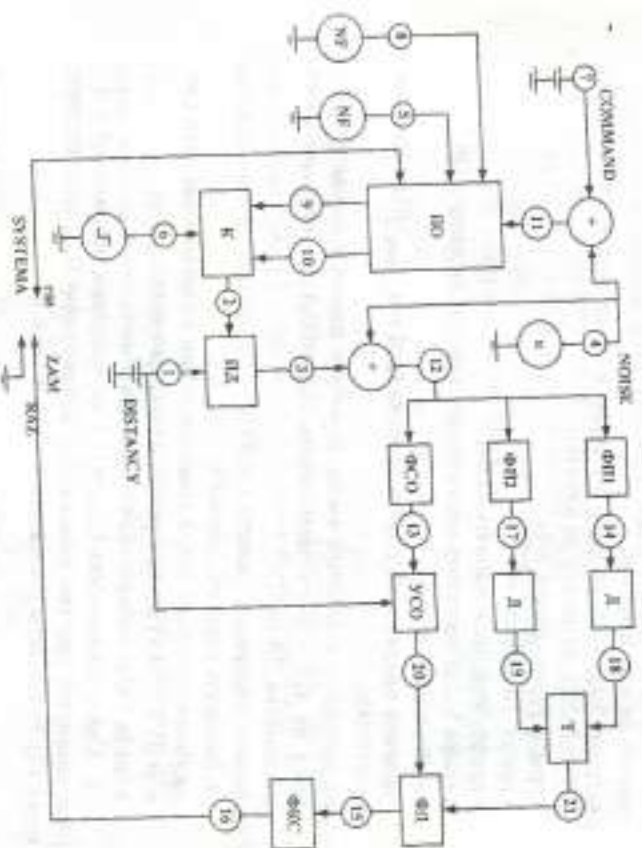


Рис. 7. Структурная схема микшера системы управления в радиозонде

Фронт вернется к схеме, необходимо закрыть окно TRANSIENT ANALYSIS с помощью кнопки X.

3. Снять зависимость командного напряжения  $U_{\text{ср}}$  [точка (16)] от углового отклонения  $U_{\text{д}}$  [напряжение в точке V(7)] ДА радиозонды системы управления при минимальном  $G_{\text{ср}}$  и максимальном  $G_{\text{ср}}$ . Удалить ДА от пункта управления, для чего:

- двойным нажатием левой клавиши мыши на слове Distance войти в режим редактирования;
- в графе Value набрать «1» (что соответствует минимальному удалению ДА от ПУ) и нажать Enter;
- войти в меню ANALYSIS и выбрать функцию TRANSIENT ANALYSIS;
- в двух строках колонки P установить «1»;
- в соответствующих графах Expression - V(7) и V(16);
- в колонке XRange установить время анализа 0.0005, 0;
- поставить метку против строки Auto Scale Ranges;

- нажать кнопку Stepping;
  - в графе Step What набрать V7 (если в графе уже набрано слово COMMAND, то ничего не менять);
  - в графе From набрать «0.4»;
  - в графе To набрать «4»;
  - в графе Step Value набрать «2.0»;
  - в графе Status поставить метку против строки On; нажать ОК;
  - нажать кнопку  $\blacktriangleright$ ;
  - значения напряжения для построения графика  $U_{avr} = f(U_q)$  снимать при  $t = 500\text{мс}$ ;
  - по методике, описанной выше, изменить значение параметра Display на «2» и снять зависимость  $U_{avr} = f(U_q)$  для максимального отклонения DA от ПУ.
- Результаты измерений занести в табл. 1
4. Заклеить систему, для чего:
    - двойным нажатием левой клавиши мыши на слове «газ» (над словом SYSTEMA) войти в режим редактирования;
    - в графе Value набрать «зад» и нажать Enter;
  5. Снять зависимость  $U_{avr} = f(U_q)$  по методике, изложенной в п. 3 (при замкнутой системе командному напряжению  $U_{cmd}$  соответствует точка 12). Результаты измерений занести в табл. 2.

Таблица 1

$U_q, \text{В}$	$T_{min}$	$T_{max}$
	$U_{avr}, \text{В}$	

Таблица 2

$U_q, \text{В}$	$T_{min}$	$T_{max}$
	$U_{avr}, \text{В}$	

6. Построить графики зависимости  $U_{avr} = f(U_q)$ ,  $U_{avr} = f(U_q)$ .
7. Разомкнуть систему, для чего:
  - двойным нажатием левой клавиши мыши на слове «зад» (над словом SYSTEMA) войти в режим редактирования;
  - в графе Value набрать «газ» и нажать Enter;
8. Снять зависимость командного напряжения  $U_{avr}$  [точка 16] от углового отклонения  $U_q$  [напряжение в точке V(7)] DA разомкнутой системы управления при минимальном  $T_{min}$  удалении DA от пункта управления в условиях действия адаптивных шумов для трех значений уровней шумов, для чего:
  - установить стрелку на сумматор (между точками 3 и 12), минимизирующей влияние адаптивных шумов;

- двойным нажатием левой клавиши мыши войти в режим редактирования;
- в графе Value набрать SUM (1.4) [для второй и третьей характеристик SUM (1.5) и SUM (1.6)] и нажать Enter;
- снять зависимость  $U_{avr} = f(U_q)$  по методике, изложенной в п. 3; результаты измерений занести в табл. 3.

Таблица 3

$U_q, \text{В}$	4	5	6
$U_{avr}, \text{В}$			

9. Построить зависимость  $U_{avr} = f(U_q)$ ,  $U_{avr} = f(U_q)$ .
10. Оценить систематическую ошибку управления, обусловленную шумами (рис. 8). Относительный уровень систематической шумовой ошибки определяется отношением
 
$$\beta_{avr} = \Delta U_{avr} / U_{avr}$$

Результаты по оценке  $\beta_{avr}$  занести в табл. 4. Объяснить причины возникновения систематической шумовой ошибки.

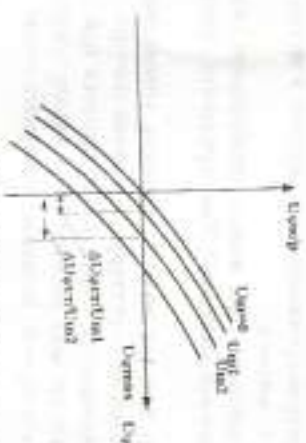


Рис. 8. Оценка систематической шумовой ошибки управления

Таблица 4

$U_q$	4	5	6
$\beta_{avr}$			

11. Снять зависимость командного напряжения  $U_{avr}$  [точка 16] от углового отклонения  $U_q$  [напряжение в точке V(7)] DA разомкнутой системы управления при минимальном  $T_{min}$  удалении DA от пункта управления в условиях действия мультипликативных шумов для трех значений уровней шумов, для чего:

- установить нулевой уровень аддитивных шумов (в графе Value набрать SLM (1,0));
- установить стрелку на сумматор (вид ГГО), интегрирующий влияние мультипликативных шумов;
- двойным нажатием левой клавиши мыши войти в режим редактирования;
- в графе Value набрать SLM (1,4) [для второй и третьей характеристики SLM (1,5) и SLM (1,6)] и нажать Enter;
- снять зависимость  $U_{\text{св}} = f(U_{\text{г}})$  по методике, изложенной в п. 3;
- построить зависимости  $U_{\text{св}} = f(U_{\text{г}})$  и  $U_{\text{д}} = \text{const}$ .

#### КОНТРОЛЬНЫЕ ВОПРОСЫ

1. Принципы действия системы управления в радиохоне.
2. Структурная схема аппаратуры пункта управления.
3. Структурная схема аппаратуры ДА при информационном параметре пд.
4. Структурная схема аппаратуры ДА при информационном параметре пр.
5. Структура линеаризованного замкнутого контура и передаточные функции его звеньев.
6. Что такое эквивалентная полоса пропускания контура управления? Для чего она используется? Как определить эквивалентную полосу?
7. Как оценить влияние шума на точность управления?
8. Как влияет шум на структуру радиохона контура управления?
9. Как устанавливается структура радиохона при учете влияния шумов по каналу сигнала ошибки и по каналу опорного сигнала?
10. Почему из-за шумов возникает систематическая ошибка управления?
11. Как оценить величину систематической ошибки управления, обусловленной шумами?

#### БИБЛИОГРАФИЧЕСКИЙ СПИСОК

1. Вейцель В.А., Тихоулин В.Н. Радиоуправление. М.: Сов. радио, 1973.
2. Моргунов А.Н. Системы радиотелеуправления. Рязань: РРТИ, 1978.
3. Щукин А.Н. Динамические и флюктуационные ошибки управления объектов. М.: Сов. радио, 1961.